

КОНФЕРЕНЦИИ И СИМПОЗИУМЫ

К 100-ЛЕТИЮ СО ДНЯ РОЖДЕНИЯ Б.М. ПОНТЕКОРВО

Стерильные нейтрино и их роль в физике частиц и космологии

Д.С. Горбунов

Добавление в физику частиц новых фермионов, синглетных по калибровочной группе Стандартной модели, позволяет с помощью механизма "качели" (I типа) получить малые массы нейтрино и объяснить явление нейтринных осцилляций. При этом масштаб масс этих фермионов (стерильных нейтрино) является свободным параметром, который может принимать значения в широком диапазоне от нескольких долей электронвольта до 10^{15} ГэВ. Масштаб масс определяет стратегию прямого поиска этих частиц. В зависимости от масштаба масс стерильные нейтрино могут оказывать влияние на развитие Вселенной и быть ответственными за барионную асимметрию Вселенной и явление тёмной материи.

PACS numbers: 12.60.-i, 14.60.Pq, 95.30.Cq

DOI: 10.3367/UFNr.0184.201405i.0545

Содержание

1. Введение (545).
2. Механизм получения масс активными нейтрино (546).
3. Феноменология и космологические проявления стерильных нейтрино (548).
 - 3.1. Масса стерильного нейтрино в интервале $10^9 - 10^{15}$ ГэВ.
 - 3.2. Масса стерильного нейтрино в интервале $10^2 - 10^9$ ГэВ.
 - 3.3. Масса стерильного нейтрино в интервале $1 \text{ кэВ} - 10^2$ ГэВ.
 - 3.4. Масса стерильного нейтрино в интервале $1 \text{ эВ} - 1 \text{ кэВ}$.
4. Заключение (553).

Список литературы (554).

1. Введение

Модели со стерильными нейтрино формируют одно из наиболее активно развивающихся направлений расширения Стандартной модели физики элементарных частиц (СМ), (см., например, [1, 2]). Речь идёт о новых фермионных степенях свободы, не заряженных по калибровочной группе СМ, $SU(3)_c \times SU(2)_W \times U(1)_Y$, отсюда и прилагательное *стерильные*. Эти фермионы называют нейтрино, поскольку они смешиваются с нейтрино СМ (или *активными нейтрино*), что даёт последним массу и смешивание между нейтрино разных типов, или ароматов (нейтрино электронное, мюонное и тауонное), обеспечивающее нейтринные осцилляции.

Популярность этого направления обусловлена следующими причинами. Это *перенормируемое* обобщение СМ: новые константы связи безразмерны и теория, как

и сама СМ, может быть справедливой при масштабах вплоть до гравитационного. Это очень "экономное" обобщение СМ: для объяснения результатов экспериментов по наблюдению нейтринных осцилляций достаточно ввести в рассмотрение всего два новых фермиона *майорановского типа*, что добавляет в СМ четыре степени свободы. Причём значениями модельных параметров можно распорядиться так, чтобы объяснить не только осцилляции, но и барионную асимметрию Вселенной через механизм лептогенезиса в первичной плазме (массовые слагаемые майорановского типа нарушают лептонное число). При таком обобщении лишь два из трёх активных нейтрино будут обладать массой, а для придания массы всем трём нейтрино СМ требуется также три стерильных нейтрино. В этом случае оказывается, что для некоторой области пространства модельных параметров легчайшее из трёх стерильных нейтрино может быть настолько долгоживущим, что оно может претендовать на роль частицы тёмной материи.

Таким образом, введение в СМ лишь трёх майорановских синглетных фермионов достаточно для объяснения сразу трёх важнейших феноменологических проблем СМ — нейтринных осцилляций, тёмной материи и барионной асимметрии Вселенной — в рамках единого подхода [3]. Наконец, несколько аномальных результатов осцилляционных экспериментов (аномалии LSND (Liquid Scintillator Neutrino Detector) [4, 5] и MiniBooNE (Mini Booster Neutrino Experiment) [6–9], галлиевая [10, 11] и реакторная [12, 13] аномалии) могут найти естественное объяснение как осцилляции в стерильные нейтрино с массами в области 1 эВ.

В общем случае большая часть пространства параметров модели недоступна для прямой экспериментальной проверки в обозримом будущем, что придаёт ей определённый академизм. Ключевым параметром здесь является масштаб масс стерильных нейтрино. Можно

Д.С. Горбунов. Институт ядерных исследований РАН, просп. 60-летия Октября 7а, 117312 Москва, Российская Федерация
E-mail: gorby@ms2.inr.ac.ru

Статья поступила 23 марта 2014 г.

привести несколько утверждений относительно ожидаемых феноменологических проявлений модели в зависимости от значения масс стерильных нейтрино:

1. Масштаб масс стерильных нейтрино не определён: разрешены значения масс вплоть до 10^{15} ГэВ. Обеспечивающее объяснение нейтринных осцилляций взаимодействие полей СМ и стерильных нейтрино даёт квантовые поправки к массе хиггсовского бозона, пропорциональные масштабу масс стерильных нейтрино. Из формального требования малости поправок следует ограничение сверху на масштаб масс порядка 10^7 ГэВ. Квантовые поправки естественным образом сокращаются в суперсимметричных обобщениях моделей физики частиц, предсказания которых проходят проверку на Большом адронном коллайдере.

2. Достаточно двух стерильных нейтрино для того, чтобы объяснить не только результаты осцилляционных экспериментов, но и барионную асимметрию Вселенной через лептогенезис. При этом "стандартный лептогенезис" [14] (производство лептонной асимметрии в распадах тяжёлых стерильных нейтрино) имеет место, если масса нейтрино больше 10^9 ГэВ. Для моделей с вырожденными по массам стерильными нейтрино возможно успешное производство лептонной асимметрии в первичной плазме и для более лёгких нейтрино, с массами вплоть до ТэВ-ной области [15] и даже в области от нескольких сотен МэВ до нескольких десятков ГэВ [16]. При этом существенны резонансные осцилляционные процессы между активными и стерильными нейтрино в плазме. Для случая трёх нейтрино с массами меньше 100 ГэВ такой механизм образования асимметрии не требует вырождения [17].

3. Стерильное нейтрино, образующее тёмную матернию, не является основным фермионом механизма "качелей", дающего массу активным нейтрино. Вклад такого нейтрино в массовую матрицу активных нейтрино мал, так что одно из них остаётся почти безмассовым. Также мал и массовый параметр, определяющий темп безнейтринного двойного β -распада, широко используемого как индикатор нарушения лептонного числа. Отметим, что разрешённая область масс стерильного нейтрино тёмной материи включает в себя область 1–10 кэВ — нейтрино с массой в этой области образуют так называемую *тёплую* тёмную матернию. Последняя интересна с точки зрения формирования во Вселенной структур масштаба карликовых галактик, число которых, согласно наблюдениям, меньше числа таких объектов, предсказываемого моделями с традиционной *холодной* тёмной материи (например, моделями со слабовзаимодействующими массивными частицами — WIMPs (Weakly Interacting Massive Particles)).

4. Стерильные нейтрино с массами порядка 1 эВ могут давать лишь небольшой вклад в полную плотность массы тёмной материи, наравне с массивными активными нейтрино. В ранней Вселенной стерильные нейтрино входили в радиационный компонент плазмы (релятивистские частицы). Прямая проверка таких моделей возможна лишь для не малого смешивания с активными нейтрино. В случае малого смешивания лишь космология может дать ответ на вопрос о существовании таких нейтрино. С учётом неопределённостей, связанных с непониманием природы тёмной энергии (физики, отвечающей за расширение Вселенной с ускорением), современные космологические данные допускают существование

стерильного нейтрино с массой порядка нескольких десятых электронвольта.

2. Механизм получения масс активными нейтрино

Оставаясь с набором полей СМ, массивные нейтрино можно описать, добавив к лагранжиану СМ следующее неперенормируемое взаимодействие:

$$\mathcal{L}^{(5)} = \frac{\beta_L}{4\Lambda} F_{\alpha\beta} \bar{L}_\alpha \tilde{H} H^\dagger L_\beta^C + \text{h.c.}, \quad (1)$$

где L_α ($\alpha = e, \mu, \tau$) — лептонные дублеты СМ (левокиральные нейтрино и заряженные лептоны образуют три дублета по группе $SU(2)_W$), C в верхнем индексе здесь и далее означает зарядовое сопряжение, $\tilde{H}_a = \epsilon_{ab} H_b^*$, $a, b = 1, 2$, H — хиггсовский дублет (в унитарной калибровке $H^T = (0, (v+h)/\sqrt{2})$, $v = 246$ ГэВ, h — обнаруженный в экспериментах на Большом адронном коллайдере скалярный бозон Хиггса), ϵ_{ab} — антисимметричная единичная матрица; параметр Λ с размерностью массы задаёт масштаб новой физики, ответственной за появление неперенормируемого взаимодействия (1), безразмерный параметр β_L определяет силу нового взаимодействия, а числа $F_{\alpha\beta}$ характеризуют смешивание между поколениями лептонов; h.c. — эрмитово-сопряжённое слагаемое. В результате появления ненулевого вакуумного среднего v хиггсовского поля H взаимодействие (1) даёт массовые слагаемые в секторе активных нейтрино

$$\mathcal{L}_{vv}^{(5)} = \frac{\beta_L v^2}{4\Lambda} \frac{F_{\alpha\beta}}{2} \bar{v}_\alpha v_\beta^C + \text{h.c.} \quad (2)$$

Отсюда, используя разность квадратов масс "атмосферных нейтрино" как нормировку, получаем оценку для масштаба новой физики

$$\Lambda \sim \beta_L \left(\frac{3 \times 10^{-3} \text{ эВ}^2}{\Delta m_{\text{atm}}^2} \right)^{1/2} 3 \times 10^{14} [\text{ГэВ}]. \quad (3)$$

На энергетическом масштабе Λ , не превышающем 3×10^{14} ГэВ, взаимодействие (1) должно быть заменено перенормируемой теорией, аналогично тому как четырёхфермионное взаимодействие Ферми заменяется электрослабой теорией на масштабе 100 ГэВ.

Какая физика стоит за нейтринным масштабом Λ , неизвестно. Однако тот факт, что этот масштаб существенно ниже гравитационного, указывает именно на *новую физику частиц* как на наиболее вероятный источник масс активных нейтрино. Нейтринные осцилляции — это единственное прямое указание на неполноту СМ. В остальном же масштаб неизвестен: понижая масштаб Λ и одновременно уменьшая параметр β_L , можно по-прежнему удовлетворять соотношению (3).

Введение стерильных нейтрино N_I , $I = 1, 2, 3$, позволяет сформировать одно из возможных перенормируемых расширений СМ, приводящих в низкоэнергетическом пределе к появлению взаимодействия (1). К лагранжиану СМ при этом добавляются кинетические и массивные слагаемые для трёх майорановских нейтрино и единственное возможное перенормируемое взаимодействие юкавского типа с полями СМ [18]

$$\mathcal{L}_N = i \bar{N}_I \not{\partial} N_I - f_{\alpha I} \bar{L}_\alpha \tilde{H} N_I - \frac{M_{N_I}}{2} \bar{N}_I^C N_I + \text{h.c.} \quad (4)$$

Здесь $\partial = \partial\mu\gamma^\mu$, где γ^μ — матрицы Дирака. Подходят модели как с тремя, так и с двумя стерильными нейтрино. Массы стерильных нейтрино M_I и безразмерные юкавские константы связи f_{zI} дают 18 новых модельных параметров (11 для случая двух стерильных нейтрино). Их более чем достаточно для выражения девяти (семи соответственно) физических параметров — наблюдаемых сектора активных нейтрино: двух разностей квадратов масс, одной CP -нарушающей фазы, двух (одной) майорановских фаз, массы легчайшего нейтрино (равной нулю в случае двух стерильных нейтрино). Оставшиеся девять (четыре) свободных параметров можно использовать, чтобы решить космологические проблемы. Уже при наличии двух стерильных нейтрино появляется дополнительная CP -нарушающая фаза, угол смешивания с активными нейтрино, две майорановские массы, величины которых можно выбрать так, чтобы обеспечить лептогенезис в ранней Вселенной. С тремя стерильными нейтрино появляется возможность объяснить и явление тёмной материи.

Лагранжиан (4) содержит юкавское взаимодействие с хиггсовским бозоном СМ, вакуумное среднее которого и даёт смешивающие стерильные и активные нейтрино массовые слагаемые:

$$\begin{aligned} \mathcal{V}_N &= v \frac{f_{zI}}{\sqrt{2}} \bar{v}_z N_I + \frac{M_{N_I}}{2} \bar{N}_I^C N_I + \text{h.c.} = \\ &= (\bar{v}_1, \dots, \bar{N}_1^C \dots) \begin{pmatrix} 0 & v \frac{\hat{f}}{\sqrt{2}} \\ v \frac{\hat{f}^T}{\sqrt{2}} & \hat{M}_N \end{pmatrix} (v_1, \dots, N_1 \dots)^T. \end{aligned}$$

Здесь и далее "крышками" отмечены матричные величины. Поскольку в СМ нейтрино левокиральные, смешивание выделяет из стерильного нейтрино правокиральную компоненту, формируя массовое слагаемое дираковского типа, $\hat{M}_D = v\hat{f}/\sqrt{2}$.

Вводя некоторую иерархию майорановской и дираковской компонент массовой матрицы, можно объяснить малость масс активных нейтрино через механизм, получивший название "качелей" (seesaw), в данном случае I типа. А именно, для матрицы юкавских констант \hat{f} общего вида, полагая

$$M_N \gg \hat{M}_D = v \frac{\hat{f}}{\sqrt{2}}, \quad (5)$$

проведём ортогональное преобразование, устраниющее смешивание между активным и стерильным секторами. В результате появятся смешивания отдельно в стерильном и активном секторах. Соответствующие 3×3 -матрицы имеют вид

$$\hat{M}_N \simeq \text{diag}(M_{N_1}, M_{N_2}, M_{N_3}),$$

$$\hat{M}^v = -\hat{M}_D \frac{1}{M_N} \hat{M}_D^T \propto f^2 \frac{v^2}{M_N} \ll M_N.$$

Диагонализация матрицы в стерильном секторе приводит к массовым состояниям, очень близким к ароматовым состояниям стерильных нейтрино, и в дальнейшем для них мы будем использовать то же обозначение, N_I . Три состояния активного сектора очень близки к ароматовым состояниям активных нейтрино v_z . Массовые слагаемые в секторе активных нейтрино возникают

во втором порядке по юкавским константам и, таким образом, являются дважды подавленными малым отношением дираковских масс к майорановским массам, введённым нами в (5). Иерархия усиливается, это и есть механизм "качелей".

Для обсуждения феноменологии модели интерес представляет смешивание между ароматовым состоянием активных нейтрино (собственный вектор в базисе слабых калибровочных взаимодействий) v_z и массовыми состояниями стерильных фермионов,

$$v_z = U_{zi} v_i + \theta_{zi} N_I.$$

Фигурирующая здесь матрица \hat{U} задаёт смешивание в секторе активных нейтрино, диагонализуя массовую матрицу:

$$\hat{U}^T \hat{M}^v \hat{U} = \text{diag}(m_1, m_2, m_3).$$

Матрицу смешивания \hat{U} называют матрицей Понте-корво – Маки – Накагава – Саката (PMNS) по аналогии с матрицей Кабибо – Кобаяши – Маскавы (CKM), описывающей смешивание между верхними и нижними кварками. Смешивание между активными и стерильными нейтрино описывают малые, по предположению механизма качелей, элементы матрицы,

$$\hat{\theta}_{zi} = \hat{M}^D \hat{M}_N^{-1} = \hat{f} \frac{v}{\hat{M}_N} \ll 1.$$

Эти элементы определяют примесь тяжёлого массового состояния нейтрино (\approx стерильного) в ароматовом состоянии, участвующем в слабых взаимодействиях. Чем меньше смешивание, тем меньше вероятность участия стерильных нейтрино в слабых процессах.

В низкоэнергетическом пределе при рассмотрении процессов с передачей импульсов, меньших масс стерильных нейтрино, $|q^2| \ll M_N^2$, теория (4) в точности даёт неперенормируемое взаимодействие (1), причём

$$\beta_L \frac{\hat{F}}{4\Lambda} = \hat{f}^T \hat{M}_N^{-1} \hat{f}. \quad (6)$$

Это можно проиллюстрировать диаграммами Фейнмана для двухчастичного рассеяния, приведёнными на рис. 1, где в пределе малых переданных импульсов вместо пропагатора стерильного нейтрино следует поставить $1/M_{N_I}$. В аналогичном пределе электрослабая модель даёт теорию Ферми четырёхфермионных взаимодействий. В данном случае масштаб новой физики Λ из (1) задают массы стерильных нейтрино M_N , а величина юкавских констант \hat{f} определяет силу взаимодействия, параметр β_L .

Ясно, что масштаб масс стерильных нейтрино не фиксирован: правильный масштаб масс активных нейтрино можно получить как с юкавскими константами

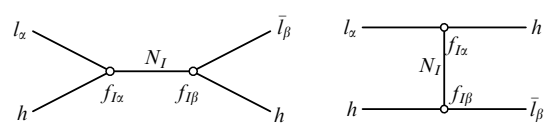


Рис. 1. Диаграммы рассеяния $lh \rightarrow lh$, иллюстрирующие появление неперенормируемого взаимодействия (1) при обмене виртуальным стерильным нейтрино N_I .

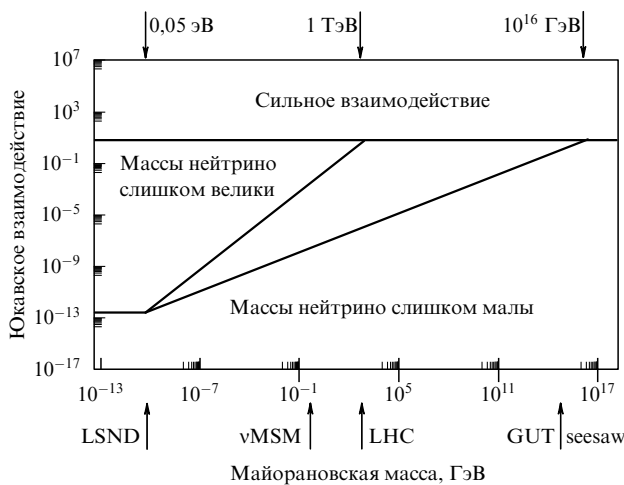


Рис. 2. Разрешённая область пространства параметров механизма качелей I типа в случае, когда выполняется условие (5), при этом юкавские константы становятся меньше единицы и дают правильный масштаб масс активных нейтрино [19].

порядка единицы и массами стерильных нейтрино порядка 10^{15} ГэВ, так и с меньшими юкавскими константами (например, $\hat{f} \sim 10^{-6}$, как для юкавской константы электрона в СМ) и, соответственно, более лёгкими стерильными нейтрино (100 ГэВ). Кроме того, поскольку массы активных нейтрино зависят от квадратичной формы юкавских констант $f_{\alpha I}$, возможно сокращение вкладов разных слагаемых, благодаря которому и в случае не очень тяжёлых стерильных нейтрино не требуется очень малых значений юкавских констант для обеспечения малости масс активных нейтрино. В последнем случае смешивание между активными и стерильными компонентами $\hat{\theta}$ не очень мало и в модели появляются интересные феноменологические следствия. Разрешённая область пространства параметров модели схематично представлена на рис. 2.

3. Феноменология и космологические проявления стерильных нейтрино

Феноменология стерильных нейтрино и их космологические проявления существенно зависят от масштаба их масс.

3.1 Масса стерильного нейтрино в интервале $10^9 - 10^{15}$ ГэВ

Мотивацию моделей с тяжёлыми стерильными нейтрино дают теории Великого объединения (Grand Unified Theory — GUT), в частности на основе калибровочной группы $SO(10)$. В интервале масс $\sim (10^9 - 10^{15})$ ГэВ

стерильные нейтрино могут быть ответственными за барионную асимметрию Вселенной через механизм лептогенеза [14]. Идея состоит в том, что распады нерелятивистских тяжёлых стерильных нейтрино в ранней Вселенной могут привести к производству лептонной асимметрии. Затем она частично переводится в барионную асимметрию так называемыми сфероническими процессами [20], находящимися в равновесии в плазме вплоть до электрослабого фазового перехода, при котором температура плазмы составляла ~ 100 ГэВ.

Для производства лептонной асимметрии в ранней Вселенной требуется одновременное выполнение трёх условий Сахарова: нарушение лептонной симметрии (гарантировано майорановскими массами $M_{N_I} \neq 0$ стерильных нейтрино), нарушение зарядовой C - и CP -симметрий (зарядовое сопряжение вместе с отражением пространственных осей), выход этих процессов из равновесия в первичной плазме.

Производство лептонной асимметрии устроено следующим образом. В ранней Вселенной стерильные нейтрино рождаются *термально* в процессах рассеяния частиц СМ благодаря ненулевому смешиванию $\hat{\theta}$ или посредством иных механизмов, требующих дальнейшей модификации модели (например, введения юкавского взаимодействия стерильных нейтрино с полем инфлата). Когда в результате расширения Вселенной температура плазмы упадёт настолько, что стерильные нейтрино станут нерелятивистскими, они перестанут рождаться в рассеянии частиц в плазме, а за счёт смешивания $\hat{\theta}$ будут распадаться в частицы СМ, что является неравновесным процессом. Юкавские константы \hat{f} в общем случае принимают комплексные значения, что обеспечивает выполнение второго условия Сахарова. В результате стерильное нейтрино может распадаться с разной вероятностью в лептон и хиггсовский бозон и в сопряжённый канал (в антилептон и хиггсовский бозон). Основной вклад в величину этой *микроскопической* асимметрии даёт интерференция древесной амплитуды и однопетлевого вклада диаграмм, представленных на рис. 3. Здесь рассматривается распад нейтрино N_1 , для темпа которого можно получить

$$\Gamma(N_1 \rightarrow lh) = \frac{M_1}{8\pi} \sum_{\alpha} \left| f_{1\alpha} + \frac{1}{8\pi} \sum_{\beta,I} g \left(\frac{M_1}{M_I} \right) f_{1\beta}^* f_{1\alpha} f_{1\beta} \right|^2,$$

что даёт для величины микроскопической асимметрии

$$\delta \equiv \frac{\Gamma(N_1 \rightarrow lh) - \Gamma(N_1 \rightarrow \bar{l}h)}{\Gamma(N_1 \rightarrow lh) + \Gamma(N_1 \rightarrow \bar{l}h)} = \\ = \frac{1}{8\pi} \sum_{I=2,3} g \left(\frac{M_1}{M_I} \right) \frac{\text{Im} (\sum_{\alpha} f_{1\alpha} f_{1\alpha}^*)^2}{\sum_{\gamma} |f_{1\gamma}|^2}.$$

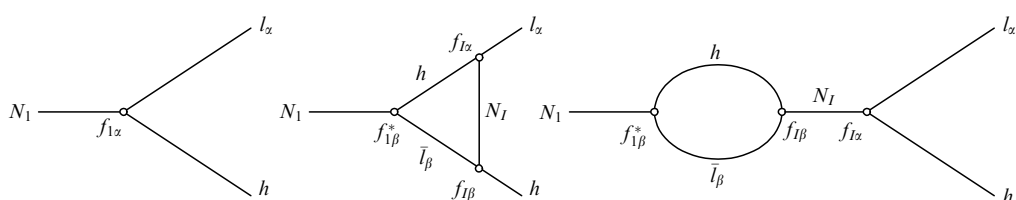


Рис. 3. Фейнмановские диаграммы, дающие основной вклад в производство микроскопической асимметрии в распаде тяжёлого стерильного нейтрино.

Функция $g(x)$ определяется петлевыми интегралами и для легчайшего стерильного нейтрино, $M_1 \ll M_{2,3}$, даёт

$$f\left(\frac{M_1}{M_I}\right) = -\frac{3}{2} \frac{M_1}{M_I},$$

$$\delta = -\frac{3 M_1}{16\pi} \frac{1}{\sum_\gamma |f_{1\gamma}|^2} \sum_{\alpha\beta I} \text{Im} \left[f_{1\alpha} f_{1\beta} \left(f_{I\alpha}^* \frac{1}{M_I} f_{I\beta}^* \right) \right].$$

Принимая во внимание соотношения (3), (6), можно получить следующую численную оценку величины микроскопической асимметрии:

$$\delta \lesssim \frac{3 M_1}{8 \pi v^2} |\Delta m_{\text{atm}}| \simeq 10^{-8} \frac{M_1}{10^8 \text{ ГэВ}}. \quad (7)$$

Величина итоговой лептонной асимметрии, образующаяся в первичной плазме, зависит от того, находились ли *релятивистские* стерильные нейтрино в равновесии и являются ли процессы распада *нерелятивистских* стерильных нейтрино доминирующими (процессами их образования можно пренебречь). Если первое условие выполнено, то для выполнения второго условия необходимо, чтобы в обсуждаемую эпоху темп расширения Вселенной, определяемый параметром Хаббла, был выше темпа распада стерильных нейтрино. Тогда образовавшаяся *макроскопическая* лептонная асимметрия представляет собой произведение микроскопической асимметрии на долю стерильных нейтрино в плазме, что даёт

$$\Delta_L \sim \delta \frac{n_{N_1}(M_1)}{s(M_1)} \sim \frac{\delta}{g_*(M_1)} \sim 10^{-2} \delta,$$

где $n_{N_1}(M_1)$ — концентрация стерильных нейтрино в плазме, $s(M_1)$ — плотность энтропии плазмы, $g_*(M_1)$ — эффективное число компонентов плазмы.

С учётом оценки величины микроскопической асимметрии (7) объяснение наблюдаемой барионной асимметрии Вселенной возможно в модели, где масса легчайшего стерильного нейтрино больше 10^9 ГэВ. Если условие доминирования темпа расширения над темпом распадов не выполняется, то требование к массе стерильного нейтрино становится более жёстким: успешный лептогенез возможен при $M_{N_1} > 10^{12}$ ГэВ.

Кроме того, требуется, чтобы образовавшаяся лептонная асимметрия не была впоследствии "замыта" в плазме рассеянием лептонов на хиггсовских бозонах, процессом, описываемым диаграммами рис. 1. Для сечения рассеяния этого процесса при температурах ниже масштаба масс стерильных нейтрино справедлива оценка

$$\sigma_{\text{lh}}^{\text{tot}} \propto \sum_{\alpha\beta I} \left| \frac{f_{I\alpha} f_{I\beta}}{M_I} \right|^2 \propto \frac{\text{tr}(\hat{M}^\nu \hat{M}^{\nu\dagger})}{v^4} \propto \frac{1}{v^4} \sum m_\nu^2.$$

Согласно результатам численных расчётов, темп рассеяний ниже темпа расширения Вселенной при значениях масс активных нейтрино

$$m_\nu < 0,1 - 0,3 \text{ эВ}.$$

Любопытно, что современные ограничения сверху на масштаб масс нейтрино (следующие из космологии) оказываются совместными с этим требованием, что можно интерпретировать в пользу представленного

варианта лептогенеза, а значит, и моделей с тяжёлыми стерильными нейтрино. Для успешной работы механизма необходимо хотя бы два стерильных нейтрино.

К сожалению, прямая проверка механизма качелей в экспериментах посредством рождения стерильных нейтрино с такими большими массами не представляется возможной даже в обозримом будущем. Кроме того, юковское взаимодействие со стерильными нейтрино даёт квантовые поправки к массе хиггсовского бозона СМ порядка $f M_N$. Для данного интервала масс нейтрино это неприемлемо большая величина, которая требует либо точной настройки параметров "древесного" лагранжиана на масштабе масс стерильных нейтрино, либо введения компенсирующего эти поправки механизма (например, суперсимметризации теории).

3.2. Масса стерильного нейтрино в интервале $10^2 - 10^9$ ГэВ

В области масс $M_N \sim (10^2 - 10^9)$ ГэВ динамика стерильных нейтрино в ранней Вселенной также может привести к производству необходимого количества лептонной асимметрии. Это возможно для такой области пространства параметров модели, в которой по крайней мере два стерильных нейтрино вырождены по массе: если разница масс нейтрино оказывается порядка их полной ширины (обратного времени жизни), то появляются резонансное усиление распадов и нарушение равновесности в плазме [21]. В результате область масс стерильных нейтрино, допускающих решение проблемы барионной асимметрии Вселенной, может быть расширена вплоть до ТэВ-ных величин [15]. На этой нижней границе кинематически возможно прямое рождение стерильных нейтрино на Большом адронном коллайдере, что позволяет провести непосредственную экспериментальную проверку модели.

Отметим, что большая часть этой области пространства параметров естественна с точки зрения стабильности массы хиггсовского бозона по отношению к квантовым поправкам, обусловленным взаимодействием со стерильными нейтрино (4). Конечная поправка к квадрату массы бозона Хиггса

$$\delta m_H^2 \propto f^2 M_N^2$$

должна быть меньше квадрата массы бозона Хиггса $m_H^2 \simeq (125 \text{ ГэВ})^2$, что выполняется для масс $M_N \lesssim 10^7$ ГэВ.

Отметим, что в случае юковских констант общего вида их величина, оцениваемая из механизма "качелей" (3), (6), весьма мала, темп рождения стерильных нейтрино с массами порядка 1 ТэВ низок и прямая проверка модели на Большом адронном коллайдере невозможна. Тестирование модели возможно лишь для не малого смешивания между активными и стерильными нейтрино, $\theta_{\alpha I}^2 \lesssim 10^{-3}$ [22].

3.3. Масса стерильного нейтрино в интервале 1 кэВ – 10^2 ГэВ

Как для феноменологии, так и для космологии область малых масс стерильного нейтрино (от ~ 1 кэВ до $\sim 10^2$ ГэВ) представляется наиболее интересной. Массы стерильных нейтрино в этом случае лежат в той же области, что и массы всех частиц СМ, что представляется естественным. По той же причине не возникает

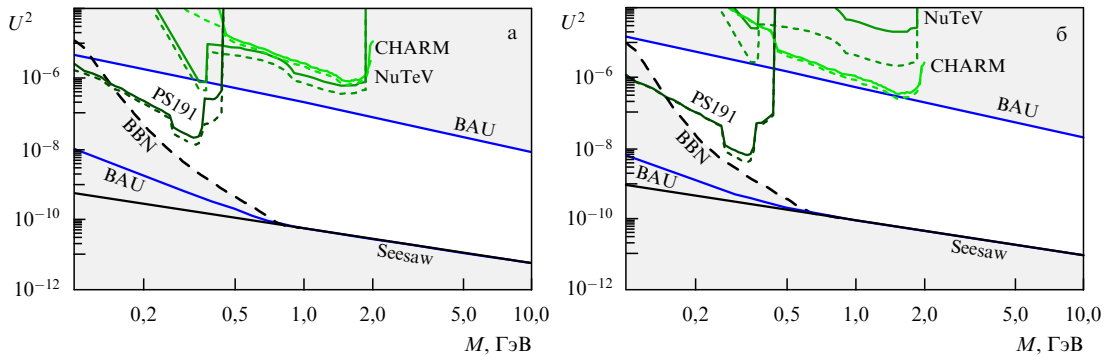


Рис. 4. Разрешённая область в пространстве (масса вырожденных стерильных нейтрино M , квадрат величины смешивания активных и стерильных нейтрино U^2) для прямой (а) и обратной (б) иерархий масс активных нейтрино [24]. Ограничение сверху на величину смешивания даёт лептогенез (верхняя кривая BAU (Baryon Asymmetry of Universe)), ограничения снизу — первичный нуклесинтез (BBN — Big Bang Nucleosynthesis) и механизм "качелей" образования масс активных нейтрино за счёт смешивания со стерильными нейтрино (кривая Seesaw). Кроме того, представлены ограничения из прямых поисков стерильных нейтрино в экспериментах CHARM (CERN HAmburg Rome Moscow), NuTeV (Neutrino at the Tevatron), PS-191 (PS — протонный синхротрон) — соответствующие этим экспериментам сплошные и штриховые кривые иллюстрируют зависимость от модельных параметров.

вопроса о квантовых поправках к массе бозона Хиггса. Кинематически возможно рождение стерильных нейтрино на Большом адронном коллайдере и в других ускорительных экспериментах.

В этой области масс также есть возможность произвести необходимое количество барионной асимметрии, для чего достаточно хотя бы двух стерильных нейтрино, которые также должны быть вырождены по массам. В ранней Вселенной до наступления электрослабого фазового перехода, когда температура превышала 100 ГэВ, в плазме происходили осцилляции в секторе нейтральных лептонов, которые для некоторой области пространства модельных параметров приводили к перераспределению лептонного заряда между активными и стерильными ароматами нейтрино [23]. Образовавшаяся лептонная асимметрия в активном секторе преобразовывалась сферонными переходами в барионную асимметрию. При этом стерильные нейтрино не должны были входить в равновесие в первичной плазме, иначе асимметрия "замылась" бы. Это требование даёт ограничение сверху на величину смешивания между активными и стерильными нейтрино, отвечающую за взаимодействия стерильных нейтрино с частицами плазмы. Космология накладывает и ограничение снизу на величину смешивания: стерильные нейтрино должны были успеть распасться до начала первичного нуклесинтеза (образования лёгких химических элементов в ранней Вселенной), иначе образующиеся в распаде энергичные частицы СМ (фотоны, заряженные лептоны, адроны), разрушая образующиеся ядра, повлияли бы на итоговый химический состав, в основном согласующийся с наблюдениями.

Разрешённая область пространства параметров модели с двумя вырожденными стерильными нейтрино, объясняющей барионную асимметрию Вселенной, представлена на рис. 4 для двух типов иерархии масс активных нейтрино.

Наличие ограничения как сверху, так и снизу на величину смешивания позволяет полностью проверить модель в эксперименте. Реалистичной такая проверка представляется для лёгких нейтрино. Так, стерильные нейтрино с массой менее 5 ГэВ могут за счёт смешивания рождаться в слабых распадах мезонов и барионов и вновь в результате смешивания распадаться в частицы

СМ. Для космологически интересных величин смешивания парциальные ширины соответствующих распадов мезонов и барионов начинаются от $\sim 5 \times 10^{-7}$ [25], а время жизни стерильного нейтрино представлено на рис. 5. Такие значения парциальных ширин и времени жизни определяют постановку эксперимента по прямому поиску стерильных нейтрино: пучок высокозергичных протонов рассеивается на фиксированной мишени с рождением мезонов, в распадах которых образуются стерильные нейтрино. На некотором расстоянии от мишени располагается "пустая" камера, объём которой прослеживается с целью обнаружения пары заряженных частиц — результата распада стерильного нейтрино. Принципиальная схема эксперимента приведена на рис. 6. Именно в экспериментах подобного типа и были получены представленные на рис. 4 прямые ограничения на модельные параметры. Недавно был предложен новый эксперимент такого типа на основе пучка протонов с энергией 400 ГэВ, который может предоставить SPS (Super Proton Synchrotron) Европейского центра ядерной физики (CERN) [26–28]. Максимально приблизив к мишени распадный объём протяжённостью 50 м, можно повысить чувствительность к углу смешивания

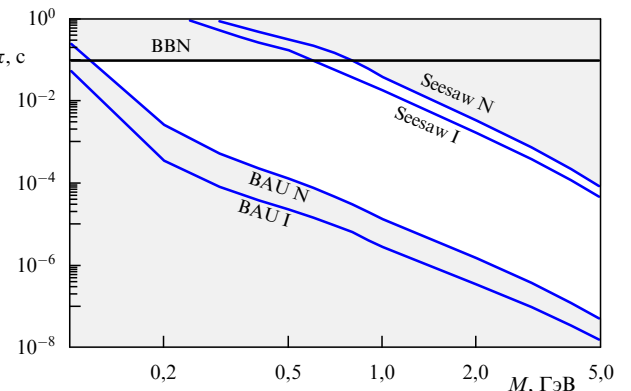


Рис. 5. Разрешённая область в пространстве (масса вырожденных стерильных нейтрино M , время жизни стерильного нейтрино τ) для моделей с прямой (N) и обратной (I) иерархиями масс активных нейтрино [24].

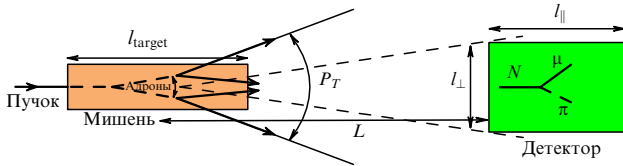


Рис. 6. Принципиальная схема эксперимента по прямому поиску стерильных нейтрино с массой менее нескольких ГэВ [26].

более чем на порядок. Речь в данном случае идёт о нейтрино с массой менее 2 ГэВ, появляющихся в распадах очарованных адронов (в основном D- и D_s-мезонов). Для исследования всего интервала возможных углов смешиваний необходимо увеличить протяжённость распадного объёма до нескольких километров и сделать его расширяющимся вдоль оси пучка, хотя бы в одном поперечном направлении [26].

Введение третьего стерильного нейтрино позволяет обеспечить производство лептонной асимметрии и без вырождения масс двух нейтрино [17]. Отметим, что нижняя граница смешивания и в этом случае, и в общем случае механизма качелей лежит недалеко от границы, обозначенной на рис. 4, так что в принципе возможно проверить полностью и общий подход к получению масс активных нейтрино через смешивание с лёгкими стерильными нейтрино [29].

В альтернативном варианте значений параметров модели третье стерильное нейтрино можно использовать как кандидат на роль частиц тёмной материи. Такая "экономная" модификация СМ, позволяющая единным механизмом с введением всего трёх майоранновских фермионов решить проблемы нейтриноных осцилляций, тёмной материи и барионной асимметрии Вселенной, в литературе получила название vMSM (Neutrino Minimal Standard Model) [3].

Претендующее на роль частиц тёмной материи стерильное нейтрино не может наравне с другими полноценно участвовать в образовании масс активных нейтрино через механизм качелей. Возникающее при этом смешивание приводило бы к быстрому распаду стерильного нейтрино в три активных нейтрино, тогда как время жизни частицы тёмной материи должно превышать возраст Вселенной (15 млрд лет). Оценки времени жизни дают

$$\tau_{N \rightarrow 3\nu} \sim \frac{1}{G_F^2 M_N^5 \theta_{\alpha N}^2} \sim \frac{1}{G_F^2 M_N^4 m_\nu} \sim 10^{11} \left(\frac{10 \text{ кэВ}}{M_N} \right)^4 [\text{лет}],$$

где G_F — константа Ферми, при этом область малых масс также запрещена из-за их перепроизводства в рассеяниях частиц в первичной плазме (рис. 7). Кроме того, есть радиационный распад стерильного нейтрино на фотон и активное нейтрино, происходящий на однопотлевом уровне теории возмущений. Для его темпа получаем [3]

$$\Gamma_{N \rightarrow \nu_\gamma \gamma} \simeq 5,5 \times 10^{-22} \theta_{\alpha N}^2 \left(\frac{M_1}{1 \text{ кэВ}} \right)^5 \text{ с}^{-1}.$$

Этот процесс даёт проверку модели тёмной материи: стерильные нейтрино в галактиках и скоплениях галактик распадаются с испусканием фотона с частотой $\omega_\gamma = M_N/2$. Поскольку скорости частиц тёмной материи в галактиках порядка скорости звёзд, $10^{-3} - 10^{-4}$ от

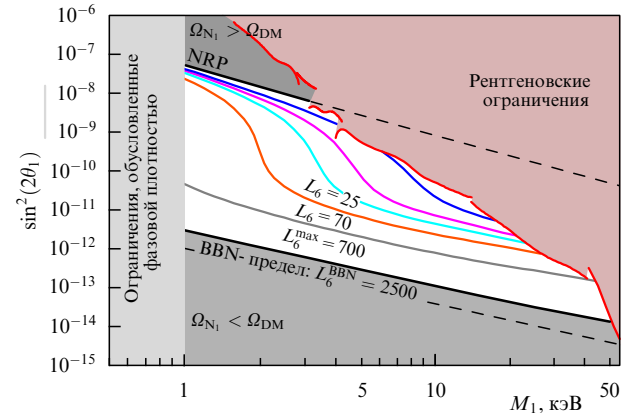


Рис. 7. Область пространства параметров (масса легчайшего стерильного нейтрино M_1 , угол смешивания θ_1), в которой стерильное нейтрино может решить проблему тёмной материи [3]. Для параметров на кривой, обозначенной как NRP (аббр. от "Non-resonant production"), рассеяния и осцилляции нейтрино в первичной плазме без лептонной асимметрии приводят к производству нужного для объяснения тёмной материи количества нейтрино. Кривые L_6 соответствуют величине лептонной асимметрии в единицах 10^{-6} . Представлены также ограничения из прямых поисков монохроматической линии в рентгеновских спектрах галактик, из первичного нуклеосинтеза (BBN), из величины фазовой плотности частиц тёмной материи в галактиках [30].

скорости света, на небе ожидается увидеть почти монохроматическую линию с такой относительной шириной из-за эффекта Доплера. Поиск таких линий из анализа данных, полученных орбитальными рентгеновскими телескопами, пока не принёс положительных результатов, но позволил исключить из дальнейшего рассмотрения механизм производства стерильных нейтрино тёмной материи тяжелее 5 кэВ в рассеяниях частиц и осцилляциях нейтрино в плазме (см. рис. 7). Ключевым обстоятельством здесь оказалась прямая зависимость темпа рождения (а значит, и числа частиц тёмной материи) и темпа распада (а следовательно, величины сигнала в телескопе) от одной и той же величины смешивания с активными нейтрино. В рамках модели трёх стерильных нейтрино остаётся возможность произвести нужное количество нейтрино в резонансных осцилляциях в плазме, если во Вселенной после электрораслабого фазового перехода существенно увеличивается лептонная асимметрия, что возможно в случае очень сильного вырождения масс двух тяжёлых стерильных нейтрино, $\Delta M \lesssim 10^{-7}$ эВ. Соответствующая область пространства параметров также представлена на рис. 7.

Можно также привлечь к рассмотрению альтернативные механизмы производства стерильных нейтрино тёмной материи. Так, в моделях с инфляционной стадией в ранней Вселенной это может обеспечить взаимодействие инфлатона со стерильными нейтрино ($\phi \bar{N}^C N$ для синглетного по группе СМ инфлатона [31–33]; в модели хиггсовской инфляции [34] такую роль играет [35] юкавское взаимодействие (4)). Общим при этом остается малый вклад нейтрино тёмной материи в массы активных нейтрино. Соответствующее общее предсказание здесь состоит в том, что одно из активных нейтрино оказывается очень лёгким, отсюда следует малая величина эффективной массы m_{eff} в двойном безнейтринном β -распаде (рис. 8). Тем не менее для этой области масс стерильных нейтрино имеется принципиальная возмож-

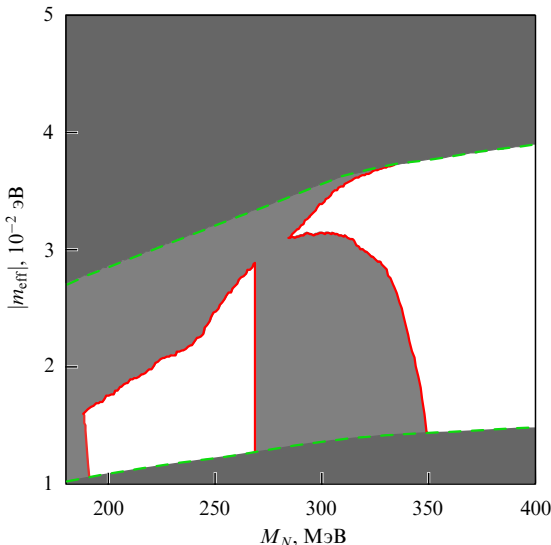


Рис. 8. (В цвете онлайн.) Разрешённая область в пространстве параметров (масса тяжёлых вырожденных стерильных нейтрино M_N , эффективная масса двойного безнейтринного β -распада m_{eff}) [36] для случая обратной иерархии масс активных нейтрино: космология ограничивает область зелёным контуром, прямые поиски дают красные контуры.

нность прямой проверки значительной части пространства параметров модели в ускорительных и орбитальных экспериментах.

3.4. Масса стерильного нейтрино в интервале 1 эВ–1 кэВ

Для решения космологических проблем область масс порядка 1 эВ–1 кэВ не представляет никакого интереса: стерильные нейтрино не могут помочь производству барионной асимметрии и не образуют необходимого количества тёмной материи. Тем не менее они могут оказывать влияние на космологические процессы, поскольку для успешного действия механизма качелей образования масс активных нейтрино смешивание между активным и стерильным секторами не может быть малым. Такие нейтрино термализуются в первичной плазме, затем отщепляются от неё, но остаются в расширяющейся Вселенной. Как дополнительный ультрапараллактический компонент (радиация) они дают вклад в полную плотность энергии Вселенной и могут увеличить темп расширения Вселенной в эпоху первичного нуклеосинтеза, тем самым изменив его предсказания. Отсюда следует ограничение на допустимое количество стерильных нейтрино, традиционно представляемое как ограничение на число эффективных нейтринных компонентов N_{eff} , которое равно трём для трёх активных нейтрино или четырём, если добавить лёгкое стерильное нейтрино с не очень малым смешиванием. Как следует из анализа данных (рис. 9), разрешено иметь в модели лишь одно стерильное нейтрино с такими свойствами. Ясно, что механизм качелей не будет работать в этом случае: требуется хотя бы ещё одно дополнительное тяжёлое стерильное нейтрино.

Интересно, что ряд аномальных результатов нейтринных осцилляционных экспериментов LSND [4, 5], MiniBooNE [6–8], GALLEX (GALLium EXperiment) [11], SAGE (Soviet-American Gallium Experiment) [10, 38] и измерений потока реакторных антинейтрино [12, 13]

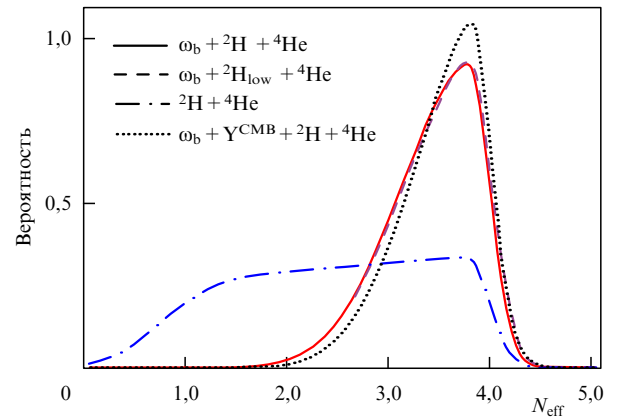


Рис. 9. Область наиболее вероятных значений эффективного числа нейтрино N_{eff} по данным космологических наблюдений [37].

может быть объяснён в модели с лёгким стерильным нейтрино. Хотя объяснение всей совокупности аномалий введением всего одного стерильного нейтрино представляется крайне маловероятным, эти результаты подогревают интерес к области масс порядка 1 эВ. Важную роль тут играют космологические наблюдения. Лёгкие массивные нейтрино, в том числе активные, могут влиять на протекание рекомбинации (образование первичного водорода) в ранней Вселенной, а также на процесс формирования структур в современной Вселенной. Первый процесс происходит при температуре плазмы порядка 0,3 эВ, частицы с массами такого порядка в более раннюю эпоху давали вклад в релятивистский компонент вещества (радиацию), а в более позднюю дают вклад в нерелятивистский компонент (материю), тем самым изменяя эволюцию неоднородностей в барион-фотонной плазме, и в конечном итоге влияя на картину анизотропии реликтового излучения. В современной Вселенной космологические нейтрино с такими массами имеют довольно большие скорости и свободно пролетают через гало галактик, однако они могут захватываться гравитационными потенциалами скоплений галактик и тем самым увеличивать массу скоплений, влиять на их эволюцию.

Для нейтрино СМ анализ данных эксперимента Planck по измерению анизотропии реликтового излучения совместно с данными по крупномасштабной структуре Вселенной (распространённость галактик и скоплений галактик в видимой Вселенной) приводит к ограничению на сумму масс трёх нейтрино СМ с уровнем достоверности (Confidence Level — CL) 95 % [39]:

$$\sum m_v < 0,23 \text{ эВ.}$$

Если в модель добавляется одно лёгкое стерильное нейтрино, то анализ данных даёт разрешённую область космологических параметров, представленную на рис. 10. Хотя для некоторых наборов данных результаты анализа космологических наблюдаемых не противоречат наличию лёгкого стерильного нейтрино и даже могут указывать на то, что вариант модели с таким нейтрино предпочтительнее традиционного варианта СМ, между параметрами, согласующимися с космологическими данными, и параметрами, предпочтительными для объяснения аномалий осцилляционных экспериментов,

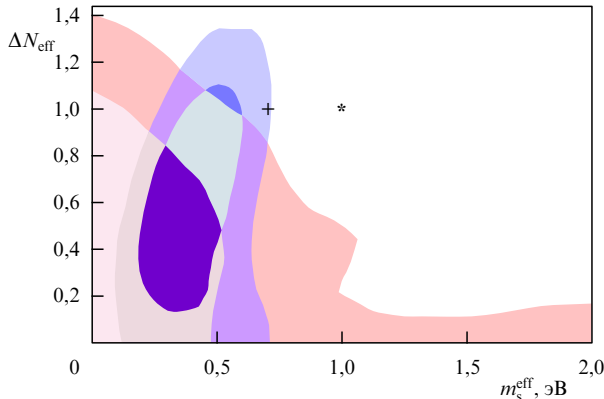


Рис. 10. (В цвете онлайн.) Область наиболее вероятных значений в пространстве параметров (масса стерильного нейтрино m_s^{eff} , превышение числа эффективных нейтринных специй над ожидаемым в СМ $\Delta N_{\text{eff}} \equiv N_{\text{eff}} - 3$) [40] по данным анализа результатов эксперимента Planck (красная и розовая области отвечают 68 и 95 % CL соответственно) и анализа совокупности космологических данных (синяя и голубая области отвечают 68 и 95 % CL соответственно), включающей в себя данные по анизотропии реликтового излучения, данные по наблюдениям скоплений галактик через эффект Сюньяева – Зельдовича, результаты измерения параметров (сахаровских) барионных акустических осцилляций с помощью анализа крупномасштабной структуры Вселенной и измерения параметра Хаббла, определяющего темп расширения Вселенной. Крестом и звёздочкой указаны значения в области параметров, предпочтительные с точки зрения решения проблем ускорительных аномалий (LSND, MiniBooNE) и галлиевой и реакторной аномалий (GALLEX, SAGE, реакторные эксперименты) соответственно.

есть определённые различия. Отметим, что если существование этих аномалий подтвердится или, наоборот, будет опровергнуто по результатам прямых поисков (см. сборник предложений [19] как пример для галлиевой аномалии [41], а для реакторной аномалии — [42]), то *перспективные космологические эксперименты позволяют исследовать модели с небольшими углами смешивания, недоступными для проверки в осцилляционных экспериментах*. Так, с будущим каталогом галактик Euclid станет возможным проверить вклад нейтрино в радиационный компонент с однопроцентной точностью (рис. 11). Ясно, что вклад такого реликтового компонента в полную плотность массы тёмной материи мал, тогда для всех массивных нейтрино получим

$$\Omega_v \approx \frac{\sum m_v}{46 \text{ эВ}} \ll \Omega_{DM} \approx 0,25.$$

Итак, в области масс 1 эВ–1 кэВ может быть лишь одно стерильное нейтрино, чего недостаточно для объяснения результатов осцилляционных экспериментов. Не малые углы смешивания могут быть проверены в осцилляционных экспериментах. При этом наибольшей чувствительностью к данной области масс обладают космологические измерения.

4. Заключение

В завершение подчеркнём, что введение стерильных нейтрино в СМ — это, вероятно, наиболее экономный способ объяснить в рамках перенормируемого обобщения СМ три остreichих феноменологических проблемы: нейтринные осцилляции, барионную асимметрию Вселенной и явление тёмной материи. При этом для решения

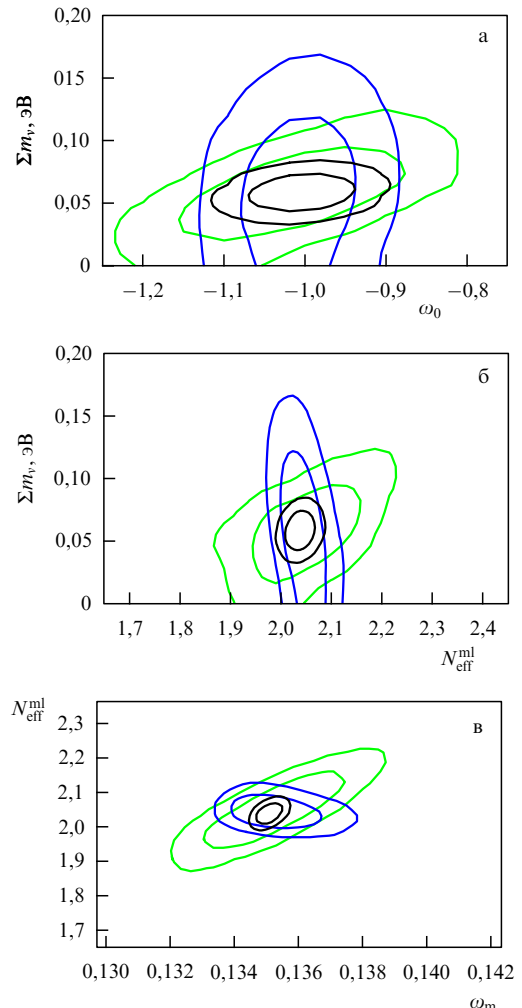


Рис. 11. Оценка чувствительности анализа данных будущего каталога галактик Euclid [43] к параметрам нейтринного сектора: сумме масс нейтрино $\sum m_v$, числу релятивистских степеней свободы $N_{\text{eff}}^{\text{ml}}$ для модели с прямой иерархией масс активных нейтрино, когда отличие $N_{\text{eff}}^{\text{ml}}$ от двух (точнее от 2,046) указывает на присутствие нового компонента. Величина ω_0 параметризует уравнение состояния тёмной энергии (в случае космологической постоянной $\omega_0 = 1$), величина ω_m с хорошей точностью равна половине относительного вклада материи в полную плотность энергии.

первых двух проблем достаточно ввести лишь два стерильных нейтрино. Для образования асимметрии требуется нарушение *CP*-симметрии в секторе нейтрино, однако для этого достаточно соответствующего параметра в скрытом секторе: *обнаружение CP-нарушения в секторе активных нейтрино или подтверждение его CP-инвариантности не подтвердит и не опровергнет объяснения барионной асимметрии через модель лептогенеза*. Третье стерильное нейтрино может быть стабильным на космологических временах и составлять тёмную материю, однако её вклад в массы активных нейтрино мал. Экспериментальным указанием на наличие такой тёмной материи служила бы монохроматическая линия в спектре фотонов от галактик и скоплений галактик, обусловленная двухчастичным радиационным распадом стерильных нейтрино. Космологические наблюдения допускают (по крайней мере, пока) существование стерильного нейтрино с массой менее 1 эВ, однако такая частица не может одновременно объяснить все суще-

ствующие осцилляционные аномалии. Есть хорошие перспективы проверить эту модель в ближайшее время после анализа накопленных данных (Planck) и в результате работы экспериментов следующего поколения.

Добавление стерильных нейтрино даёт правокиральные компоненты нейтринному сектору, делая его более похожим на кварковый сектор СМ, в котором лево- и правокиральные компоненты есть как у верхних, так и у нижних кварков. Замечательно, что часть пространства этой модели для масс нейтрино, меньших нескольких ГэВ, можно проверить в прямых экспериментах физики частиц и орбитальных экспериментах.

Список литературы

1. Mohapatra R N, Pal P B *Massive Neutrinos in Physics and Astrophysics* (World Scientific Lecture Notes in Physics, Vol. 60) 2nd ed. (River Edge, N.J.: World Scientific, 1998)
2. Mohapatra R N, Pal P B *Massive Neutrinos in Physics and Astrophysics* (World Scientific Lecture Notes in Physics, Vol. 72) 3rd ed. (River Edge, N.J.: World Scientific, 2004)
3. Boyarsky A, Ruchayskiy O, Shaposhnikov M *Annu. Rev. Nucl. Part. Sci.* **59** 191 (2009); arXiv:0901.0011
4. Athanassopoulos C et al. (LSND Collab.) *Phys. Rev. Lett.* **75** 2650 (1995); nucl-ex/950402
5. Aguilar A et al. (LSND Collab.) *Phys. Rev. D* **64** 112007 (2001); hep-ex/0104049
6. Aguilar-Arevalo A A et al. (MiniBooNE Collab.) *Phys. Rev. Lett.* **98** 231801 (2007); arXiv:0704.1500
7. Aguilar-Arevalo A A et al. (MiniBooNE Collab.) *Phys. Rev. Lett.* **102** 101802 (2009); arXiv:0812.2243
8. Aguilar-Arevalo A A et al. (MiniBooNE Collab.) *Phys. Rev. Lett.* **105** 181801 (2010); arXiv:1007.1150
9. Aguilar-Arevalo A A et al. (MiniBooNE Collab.) *Phys. Rev. Lett.* **110** 161801 (2013); arXiv:1207.4809; arXiv:1303.2588
10. Abdurashitov J N et al. *Phys. Rev. C* **73** 045805 (2006); nucl-ex/0512041
11. Kaether F et al. *Phys. Lett. B* **685** 47 (2010); arXiv:1001.2731
12. Mueller Th A et al. *Phys. Rev. C* **83** 054615 (2011); arXiv:1101.2663
13. Huber P *Phys. Rev. C* **84** 024617 (2011); *Phys. Rev. C* **85** 029901 (2012), Erratum; arXiv:1106.0687
14. Fukugita M, Yanagida T *Phys. Lett. B* **174** 45 (1986)
15. Pilaftsis A, Underwood T E J *Phys. Rev. D* **72** 113001 (2005); hep-ph/0506107
16. Asaka N, Shaposhnikov M *Phys. Lett. B* **620** 17 (2005); hep-ph/0505013
17. Drewes M, Garbrecht B *JHEP* (03) 096 (2013); arXiv:1206.5537
18. Minkowski P *Phys. Lett. B* **67** 421 (1977)
19. Abazajian K N et al., arXiv:1204.5379
20. Kuzmin V A, Rubakov V A, Shaposhnikov M E *Phys. Lett. B* **155** 36 (1985)
21. Pilaftsis A, Underwood T E J *Nucl. Phys. B* **692** 303 (2004); hep-ph/0309342
22. Dev P S B, Pilaftsis A, Yang U *Phys. Rev. Lett.* **112** 081801 (2014); arXiv:1308.2209
23. Akhmedov E Kh, Rubakov V A, Smirnov A Yu *Phys. Rev. Lett.* **81** 1359 (1998); hep-ph/9803255
24. Canetti L et al. *Phys. Rev. D* **87** 093006 (2013); arXiv:1208.4607
25. Gorbunov D, Shaposhnikov M *JHEP* (10) 015 (2007); *JHEP* (11) 101 (2013); arXiv:0705.1729
26. Gorbunov D, Shaposhnikov M, Proposal submitted to European Strategy Group (2012)
27. Glinenko S N, Gorbunov D S, Shaposhnikov M E *Adv. High Energy Phys.* **2012** 718259 (2012); arXiv:1301.5516
28. Bonivento W et al., arXiv:1310.1762
29. Gorbunov D, Panin A *Phys. Rev. D* **89** 017302 (2014); arXiv:1312.2887
30. Gorbunov D, Khmelnitsky A, Rubakov V *JCAP* **0810** 41 (2008); arXiv:0808.3910
31. Shaposhnikov M, Tkachev I *Phys. Lett. B* **639** 414 (2006); hep-ph/0604236
32. Bezrukov F, Gorbunov D *JHEP* (05) 010 (2010); arXiv:0912.0390
33. Bezrukov F, Gorbunov D *JHEP* (07) 140 (2013); arXiv:1303.4395
34. Bezrukov F, Shaposhnikov M *Phys. Lett. B* **659** 703 (2008); arXiv:0710.3755
35. Bezrukov F, Gorbunov D, Shaposhnikov M *JCAP* (10) 001 (2011); arXiv:1106.5019
36. Asaka T, Ejima S *Prog. Theor. Exp. Phys.* **2013** (11) 113B02 (2013); arXiv:1308.3550
37. Mangano G, Serpico P D *Phys. Lett. B* **701** 296 (2011); arXiv:1103.1261
38. Гаврин В Н *УФН* **181** 975 (2011); Gavrin V N *Phys. Usp.* **54** 941 (2011)
39. Ade P A R et al. (Planck Collab.), arXiv:1303.5076
40. Hamann J, Hasenkamp J *JCAP* (10) 044 (2013); arXiv:1308.3255
41. Gavrin V N et al., arXiv:1006.2103
42. Danilov M (DANSS Collab.), arXiv:1311.2777
43. Basse T et al., arXiv:1304.2321

Sterile neutrinos and their roles in particles physics and cosmology

D.S. Gorbunov

*Institute for Nuclear Research, Russian Academy of Sciences,
prosp. 60-letiya Oktyabrya 7A, 117312 Moscow, Russian Federation
E-mail: gorby@ms2.inr.ac.ru*

Introducing to particles physics new fermions that are singlet under the gauge group of the standard model allows one to use the seesaw type-I mechanism to obtain the small neutrino masses and to explain the phenomenon of neutrino oscillations. The mass scale of these fermions (sterile neutrinos) is a free parameter with values ranging widely from subelectronvolt to 10^{15} GeV. The mass scale determines the direct search strategy for these particles, and depending on it, sterile neutrinos can influence the evolution of the Universe and can be responsible for the baryonic asymmetry of the Universe and for the phenomenon of dark matter.

PACS numbers: **12.60.-i**, 14.60.Pq, 95.30.Cq

DOI: 10.3367/UFNr.0184.201405i.0545

Bibliography — 43 references

Received 23 March 2014

Uspekhi Fizicheskikh Nauk **184** (5) 545–554 (2014)

Physics – Uspekhi **57** (5) (2014)